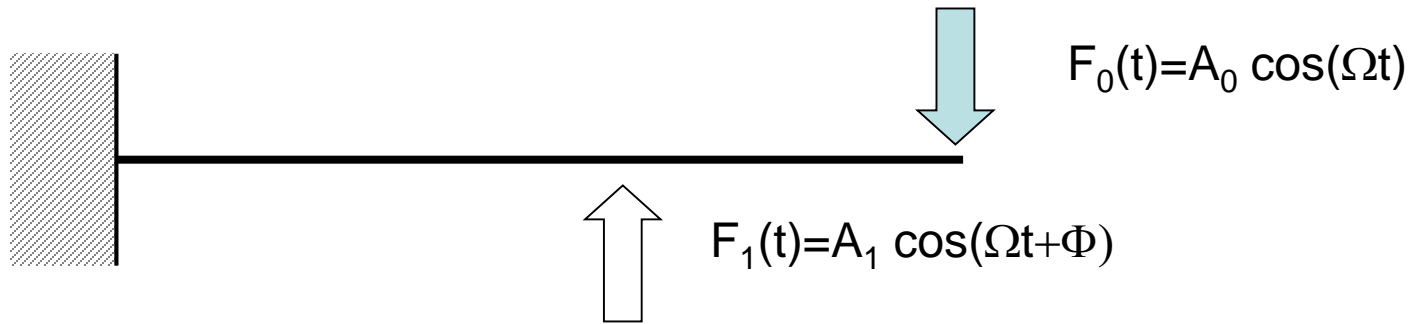


ANALISI DELLA RISPOSTA ARMONICA

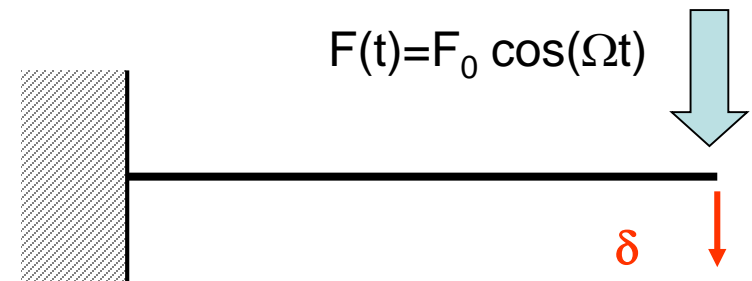
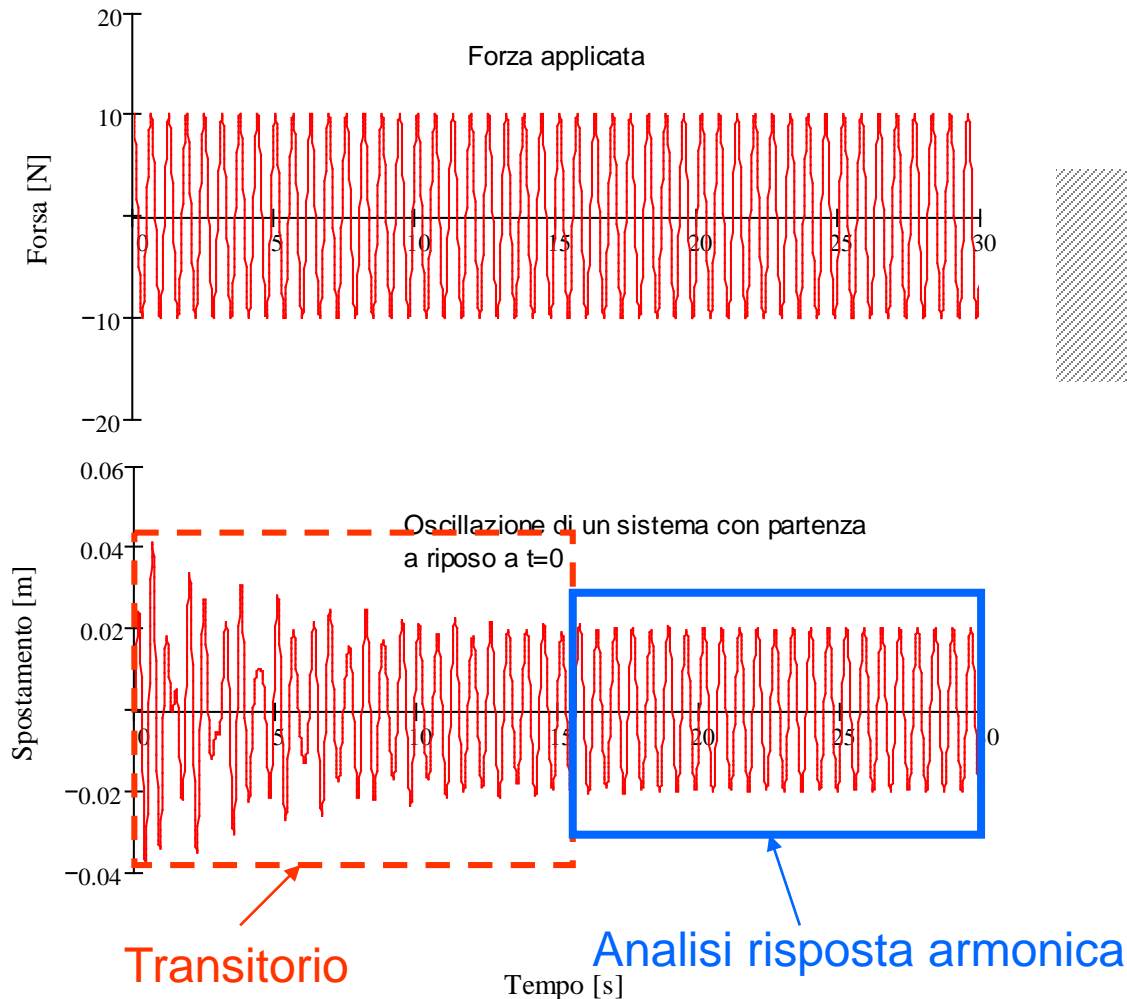
SCOPO: Valutare la risposta del sistema in presenza di una forzante esterna di tipo **sinusoidale** ed ampiezza **costante nel tempo**.



Su di una struttura, la “forzante” è in generale costituita da una o più forze esterne, aventi tutte la **stessa pulsazione**, ma **ampiezza e fase distinte**.

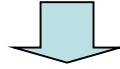
ANALISI DELLA RISPOSTA ARMONICA

Se si applica la forzante a partire dall'istante $t=0$, con la struttura inizialmente a riposo, la risposta mostra un **transitorio** iniziale, che si esaurisce dopo un certo tempo, dopodiché la struttura oscilla con **ampiezza costante**.



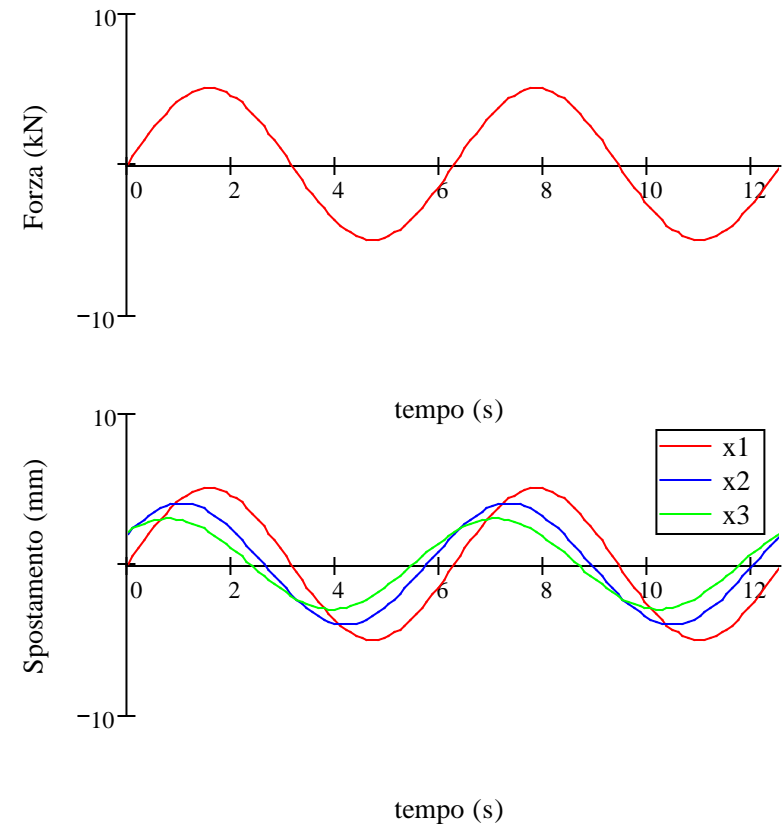
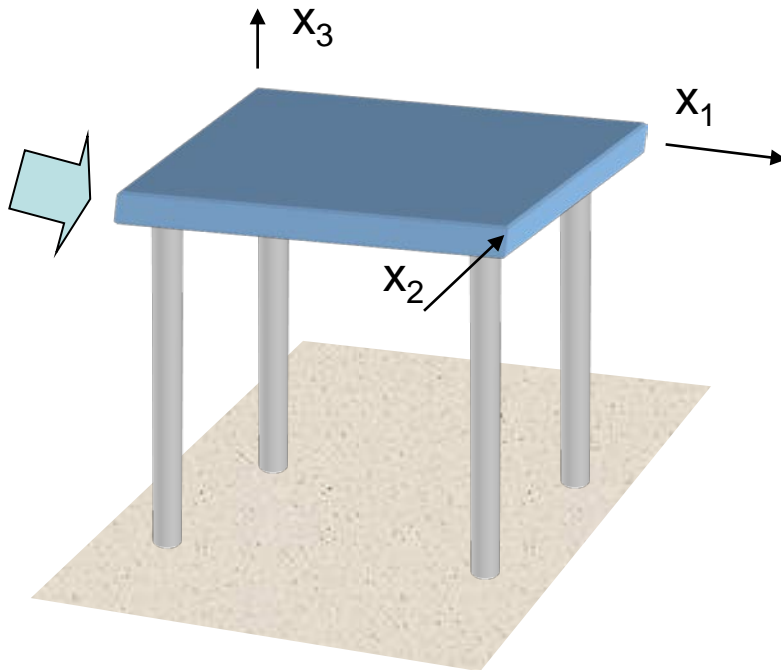
ANALISI DELLA RISPOSTA ARMONICA

Ipotesi: comportamento lineare della struttura ($[M]$, $[C]$ e $[K]$ costanti)



I vari g.d.l. della struttura vibrano con una legge del moto avente:

- andamento nel tempo di tipo **sinusoidale**
- **pulsazione** uguale a quella della forzante
- **ampiezza** e **fase** variabili da punto a punto



ANALISI DELLA RISPOSTA ARMONICA

$$[M]\{\ddot{U}\} + [C]\{\dot{U}\} + [K]\{U\} = \{F(t)\}$$

$$\{F(t)\} = \begin{Bmatrix} f_{1\max} \cdot \cos(\Omega t + \psi_1) \\ f_{2\max} \cdot \cos(\Omega t + \psi_2) \\ - \\ - \\ f_{j\max} \cdot \cos(\Omega t + \psi_j) \\ - \\ - \end{Bmatrix} = \begin{Bmatrix} f_{1\max} \cdot e^{i\psi_1} \cdot e^{i\Omega t} \\ f_{2\max} \cdot e^{i\psi_2} \cdot e^{i\Omega t} \\ - \\ - \\ f_{j\max} \cdot e^{i\psi_j} \cdot e^{i\Omega t} \\ - \\ - \end{Bmatrix} = \{f_{\max} \cdot e^{i\psi}\} e^{i\Omega t}$$

$$\{F(t)\} = \{f_{\max} \cdot e^{i\psi}\} e^{i\Omega t} = \{f_{\max} (\cos(\psi) + i \cdot \sin(\psi))\} e^{i\Omega t}$$

ANALISI DELLA RISPOSTA ARMONICA

$$\{U(t)\} = \{u_{\max} \cdot e^{i\varphi}\} e^{i\Omega t} = \{u_{\max} (\cos(\varphi) + i \cdot \sin(\varphi))\} e^{i\Omega t}$$

$$\{\dot{U}(t)\} = i\Omega \{u_{\max} \cdot e^{i\varphi}\} e^{i\Omega t}$$

$$\{\ddot{U}(t)\} = -\Omega^2 \{u_{\max} \cdot e^{i\varphi}\} e^{i\Omega t}$$

$$\{F(t)\} = \{f_{\max} \cdot e^{i\psi}\} e^{i\Omega t}$$

$$[M]\{\ddot{U}\} + [C]\{\dot{U}\} + [K]\{U\} = \{F(t)\}$$

$$-\Omega^2 [M] \{u_{\max} e^{i\varphi}\} e^{i\Omega t} + i\Omega [C] \{u_{\max} e^{i\varphi}\} e^{i\Omega t} + [K] \{u_{\max} e^{i\varphi}\} e^{i\Omega t} = \{f_{\max} e^{i\psi}\} e^{i\Omega t}$$

$$([K] - \Omega^2 [M] + i\Omega [C]) \{u_{\max} e^{i\varphi}\} = \{f_{\max} e^{i\psi}\}$$


ANALISI DELLA RISPOSTA ARMONICA - MD

Principali tecniche di soluzione:

- Metodo diretto
- Metodo di sovrapposizione modale

Soluzione: **metodo diretto (MD)**

$$\left(([K] - \Omega^2 [M]) + i\Omega [C] \right) \{u_{\max} e^{i\varphi}\} = \{f_{\max} e^{i\psi}\}$$


$$[K_c] \{u_{\max} e^{i\varphi}\} = \{f_{\max} e^{i\psi}\}$$


$$\{u_{\max} e^{i\varphi}\} = [K_c]^{-1} \{f_{\max} e^{i\psi}\}$$

ANALISI DELLA RISPOSTA ARMONICA - MSM

Soluzione: metodo di sovrapposizione modale (MSM)

Si pone:

$$\{U(t)\} = \sum_{j=1}^{n_{MP}} \{Y^{(j)}\} q_j(t)$$

In presenza di «Classical Damping» (Es. smorzamento proporzionale) la matrice [C], come le matrici [M] e [K], viene diagonalizzata dalla matrice modale del sistema non smorzato, per cui il sistema:

$$[M]\{\ddot{U}\} + [C]\{\dot{U}\} + [K]\{U\} = \{F(t)\}$$

si riduce ad «N» equazioni disaccoppiate, del tipo:

$$\ddot{q}_k + 2\xi_k \omega_k \dot{q}_k + \omega_k^2 q_k = \{\Phi\}_k^T \{F(t)\} = f_k$$

ANALISI DELLA RISPOSTA ARMONICA - MSM

$$\ddot{q}_k + 2\xi_k \omega_k \dot{q}_k + \omega_k^2 q_k = f_k$$

$$f_k = (f_{k,\max} e^{i\psi_k}) e^{i\Omega t} = f_{kc} e^{i\Omega t}$$

$$q_k = Q_{kc} e^{i\Omega t}$$

$$\dot{q}_k = i\Omega Q_{kc} e^{i\Omega t}$$

$$\ddot{q}_k = -\Omega^2 Q_{kc} e^{i\Omega t}$$

$$-\Omega^2 Q_{kc} e^{i\Omega t} + 2\xi_k \omega_k i\Omega Q_{kc} e^{i\Omega t} + \omega_k^2 Q_{kc} e^{i\Omega t} = f_{kc} e^{i\Omega t}$$

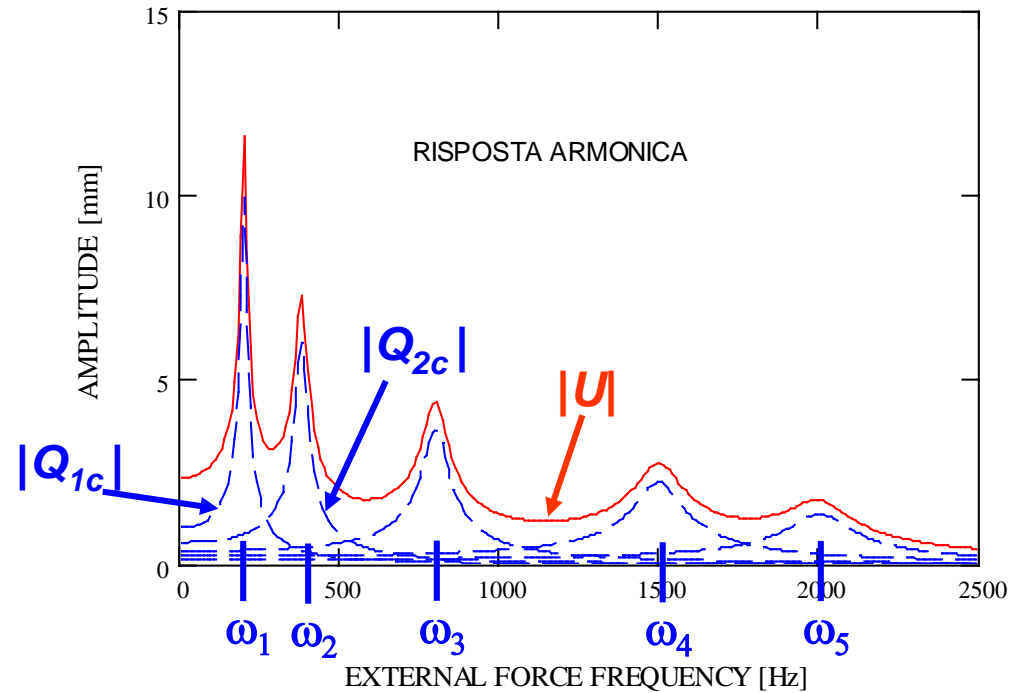
$$(\omega_k^2 - \Omega^2 + 2i\xi_k \omega_k \Omega) Q_{kc} = f_{kc}$$

$$Q_{kc} = \frac{f_{kc}}{(\omega_k^2 - \Omega^2) + 2i\xi_k \omega_k \Omega}$$

ANALISI DELLA RISPOSTA ARMONICA - MSM

$$Q_{kc} = \frac{f_{kc}}{(\omega_k^2 - \Omega^2) + 2i\xi_k \omega_k \Omega} =$$

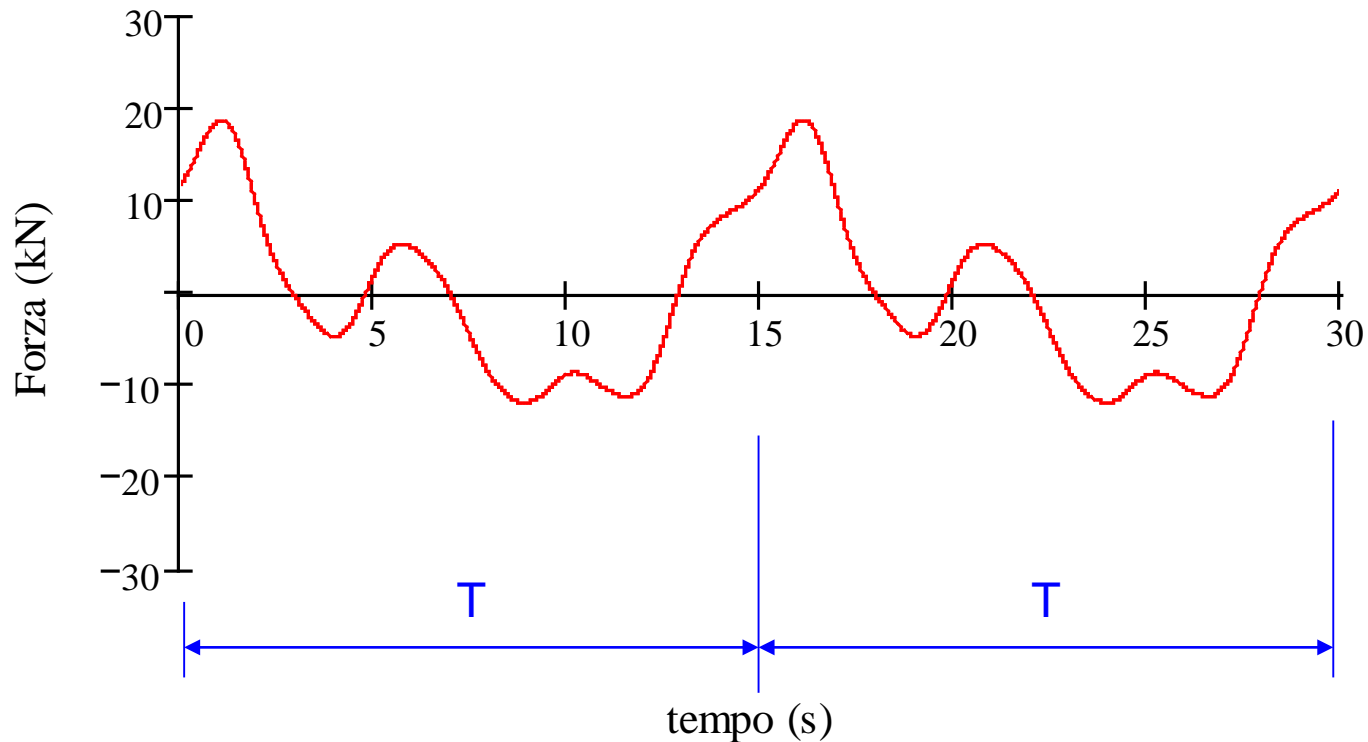
$$= \frac{\frac{f_{kc}}{\omega_k^2}}{\sqrt{\left(1 - \frac{\Omega^2}{\omega_k^2}\right)^2 + \left(2\xi_k \frac{\Omega}{\omega_k}\right)^2}}$$



$$\{U(t)\} = \sum_{k=1}^{n_{MP}} \{Y^{(k)}\} Q_{kc} e^{i\Omega t} = \left(\sum_{k=1}^{n_{MP}} \{Y^{(k)}\} Q_{kc} \right) e^{i\Omega t}$$

ANALISI DELLA RISPOSTA ARMONICA - APPLICAZIONI

Forzanti: le forzanti esterne agenti sulla struttura hanno generalmente un andamento nel tempo di tipo **periodico**, ma non **armonico**.



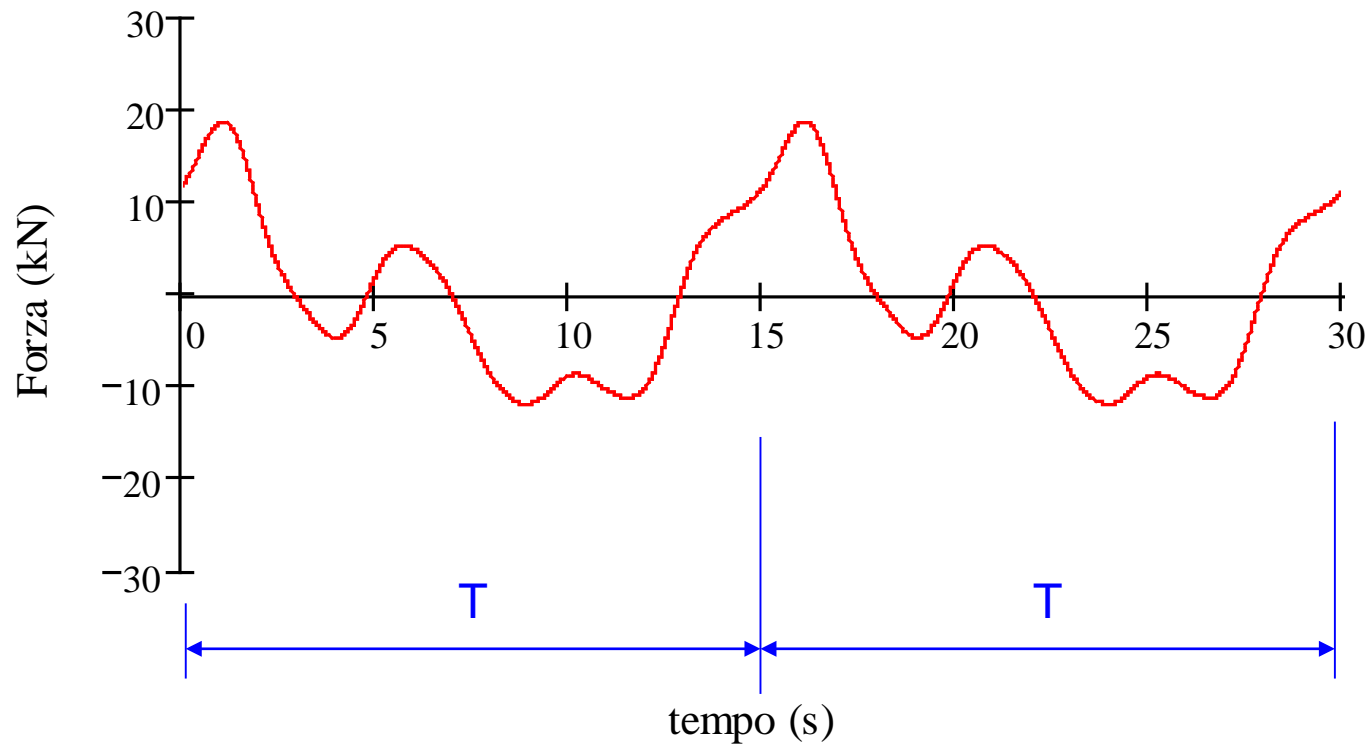
Per determinare il loro effetto sulla struttura è quindi necessario:

- scomporre la forzante in una somma di funzioni armoniche (serie di Fourier)
- ottenere la risposta complessiva tramite la sovrapposizione degli effetti

ANALISI DELLA RISPOSTA ARMONICA - APPLICAZIONI

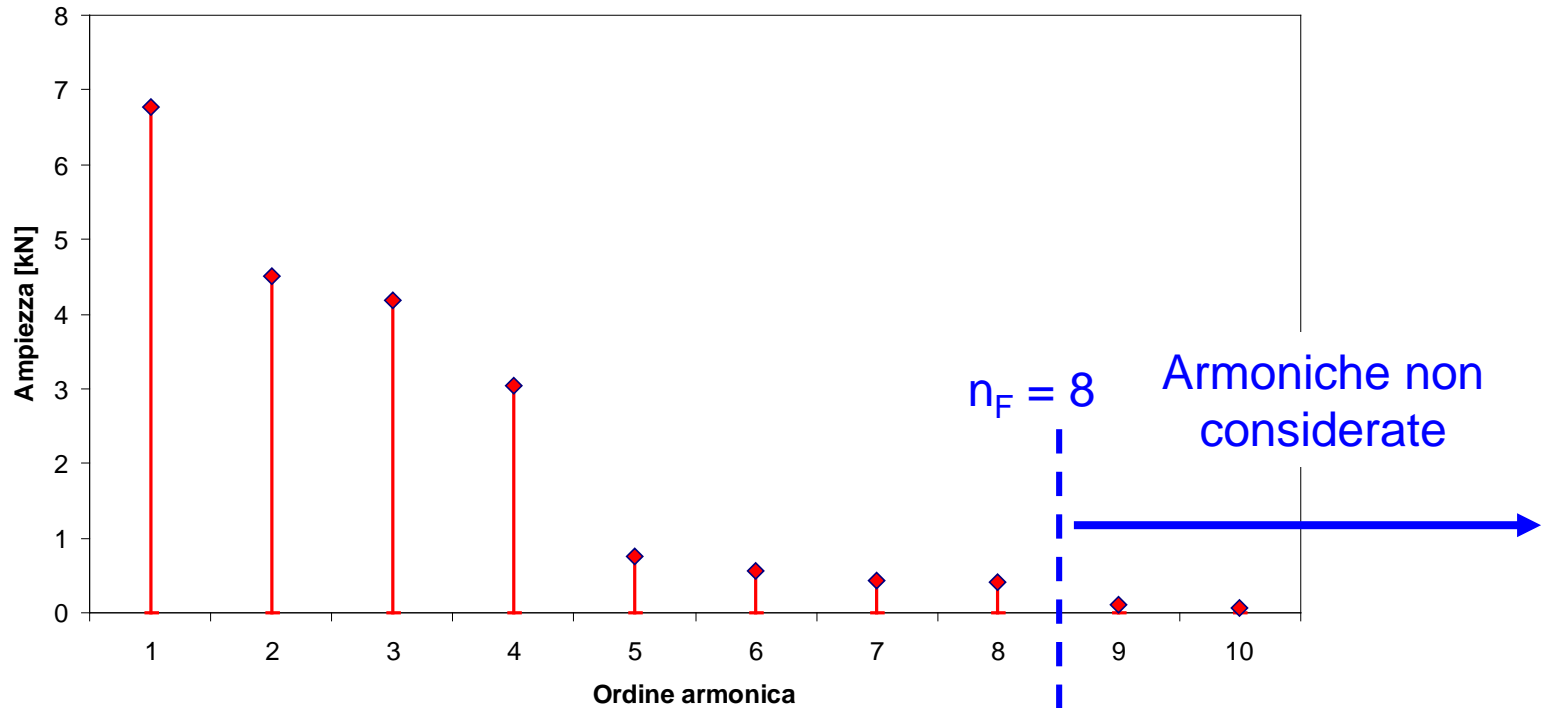
$$\Omega_0 = \frac{2\pi}{T}$$

$$F(t) = A_0 + \sum_{h=1}^{\infty} A_h \cdot \cos(h\Omega_0 t + \lambda_h) \cong A_0 + \sum_{h=1}^{n_F} A_h \cdot \cos(h\Omega_0 t + \lambda_h)$$



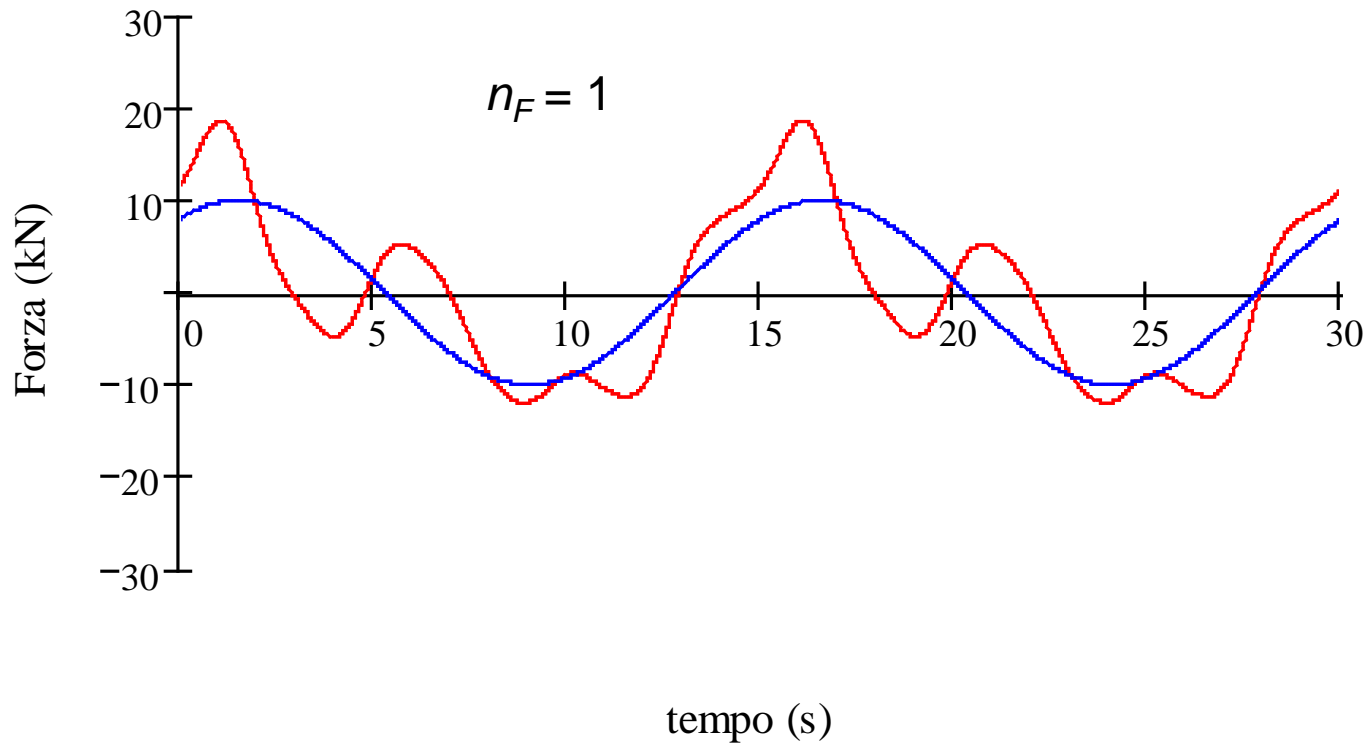
ANALISI DELLA RISPOSTA ARMONICA - APPLICAZIONI

Andamento tipico delle ampiezze delle diverse armoniche eccitatrici con il relativo ordine h



Oss: al di sopra di un certo numero d'ordine l'ampiezza A_h diviene usualmente trascurabile.

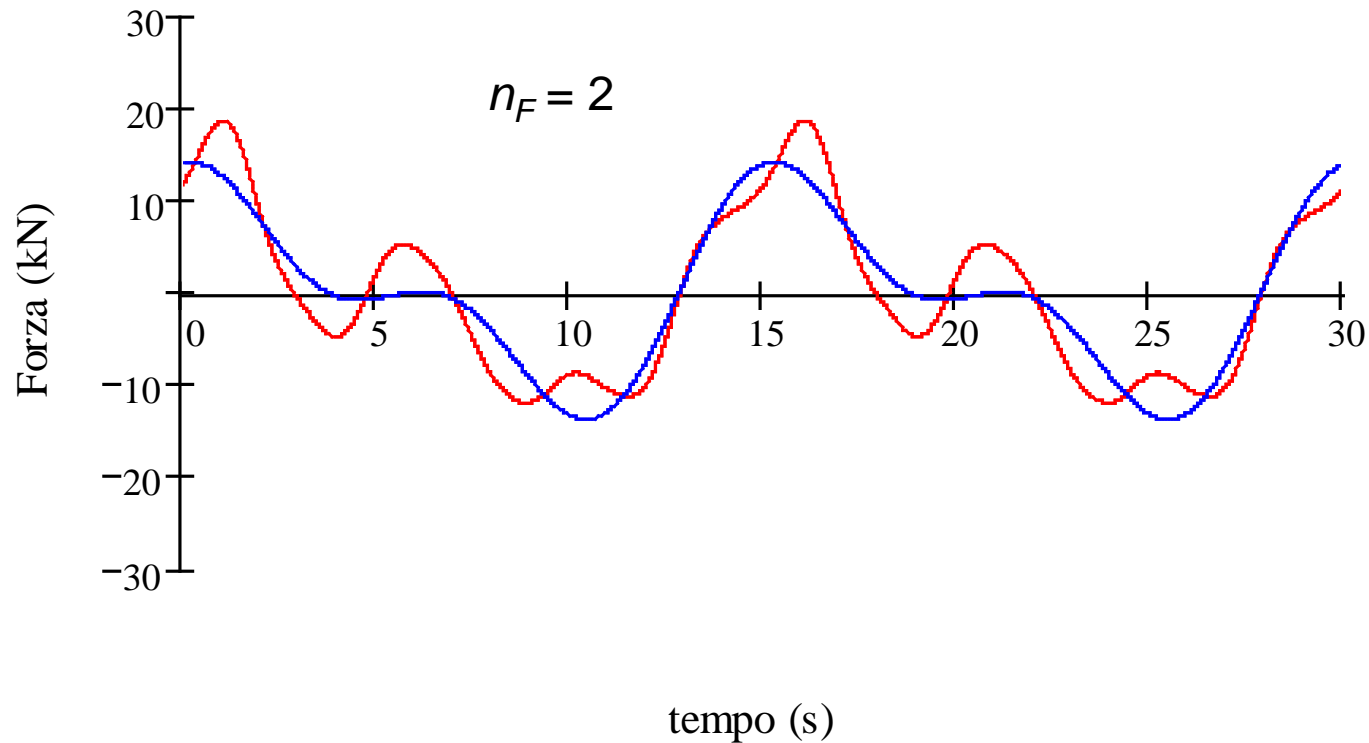
ANALISI DELLA RISPOSTA ARMONICA - APPLICAZIONI



Possibile verifica della corretta scelta di n_F : confronto tra $F(t)$ e

$$F'(t) = A_0 + \sum_{h=1}^{n_F} A_h \cdot \cos(h\Omega_0 t + \lambda_h)$$

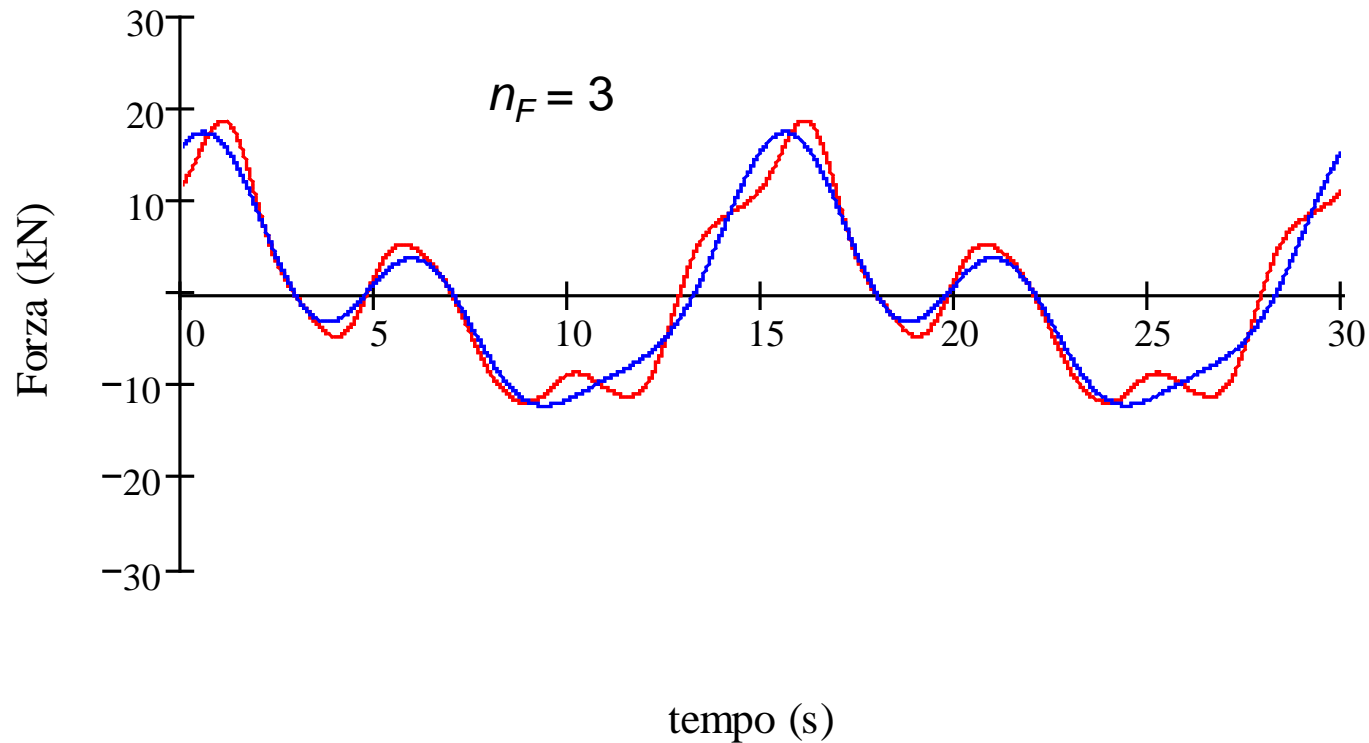
ANALISI DELLA RISPOSTA ARMONICA - APPLICAZIONI



Possibile verifica della corretta scelta di n_F : confronto tra $F(t)$ e

$$F'(t) = A_0 + \sum_{h=1}^{n_F} A_h \cdot \cos(h\Omega_0 t + \lambda_h)$$

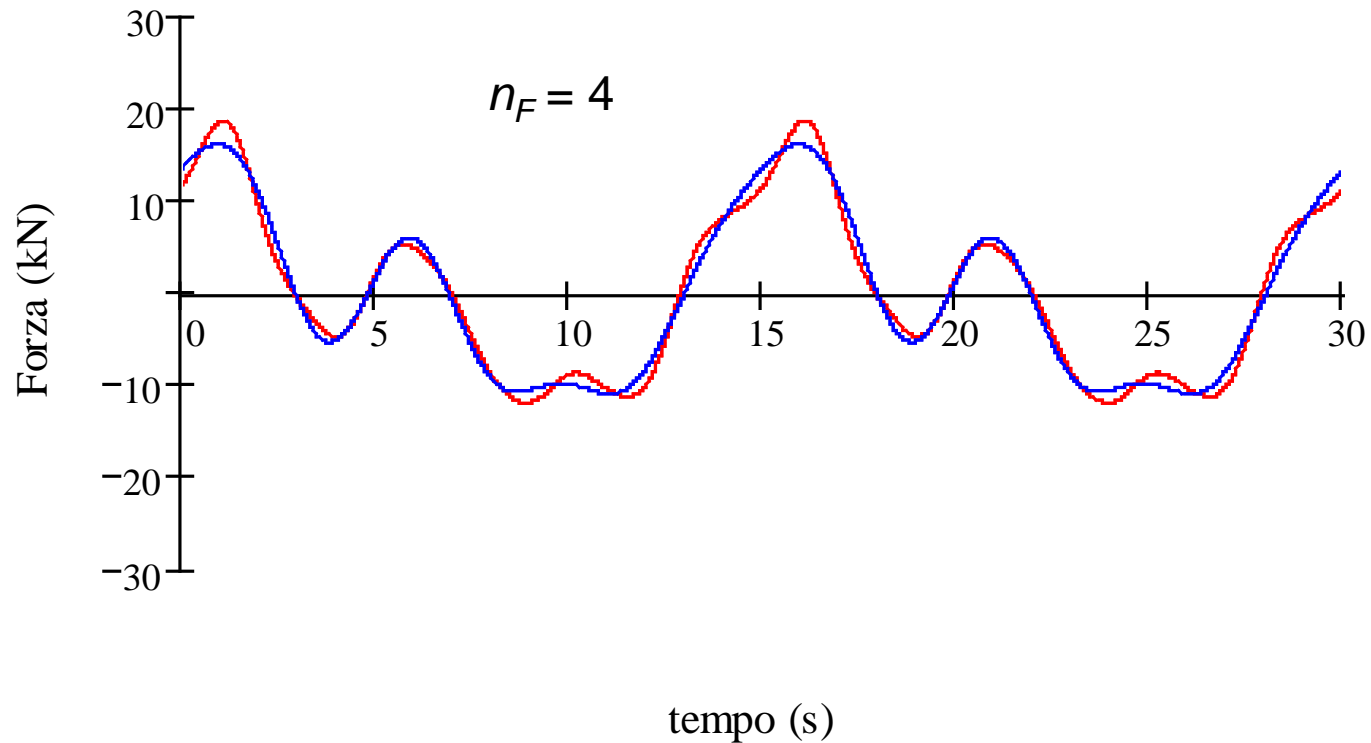
ANALISI DELLA RISPOSTA ARMONICA - APPLICAZIONI



Possibile verifica della corretta scelta di n_F : confronto tra $F(t)$ e

$$F'(t) = A_0 + \sum_{h=1}^{n_F} A_h \cdot \cos(h\Omega_0 t + \lambda_h)$$

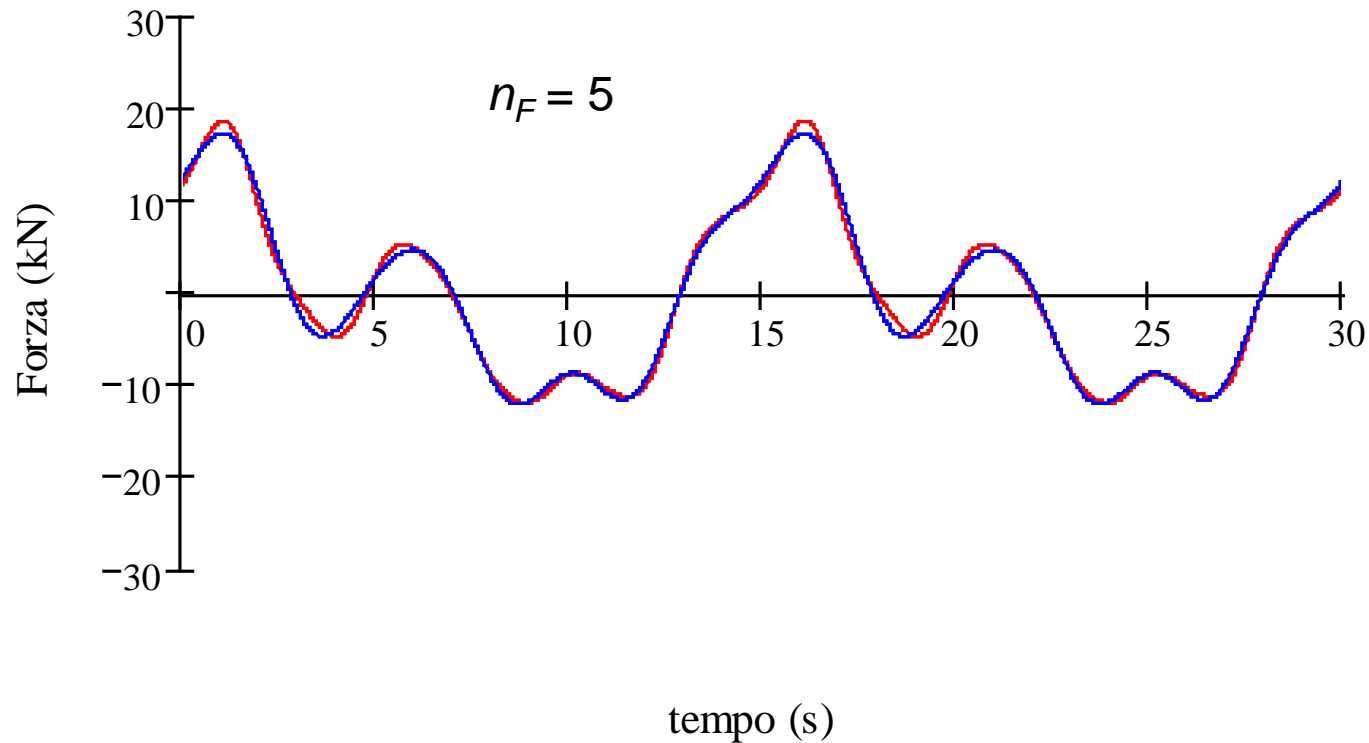
ANALISI DELLA RISPOSTA ARMONICA - APPLICAZIONI



Possibile verifica della corretta scelta di n_F : confronto tra $F(t)$ e

$$F'(t) = A_0 + \sum_{h=1}^{n_F} A_h \cdot \cos(h\Omega_0 t + \lambda_h)$$

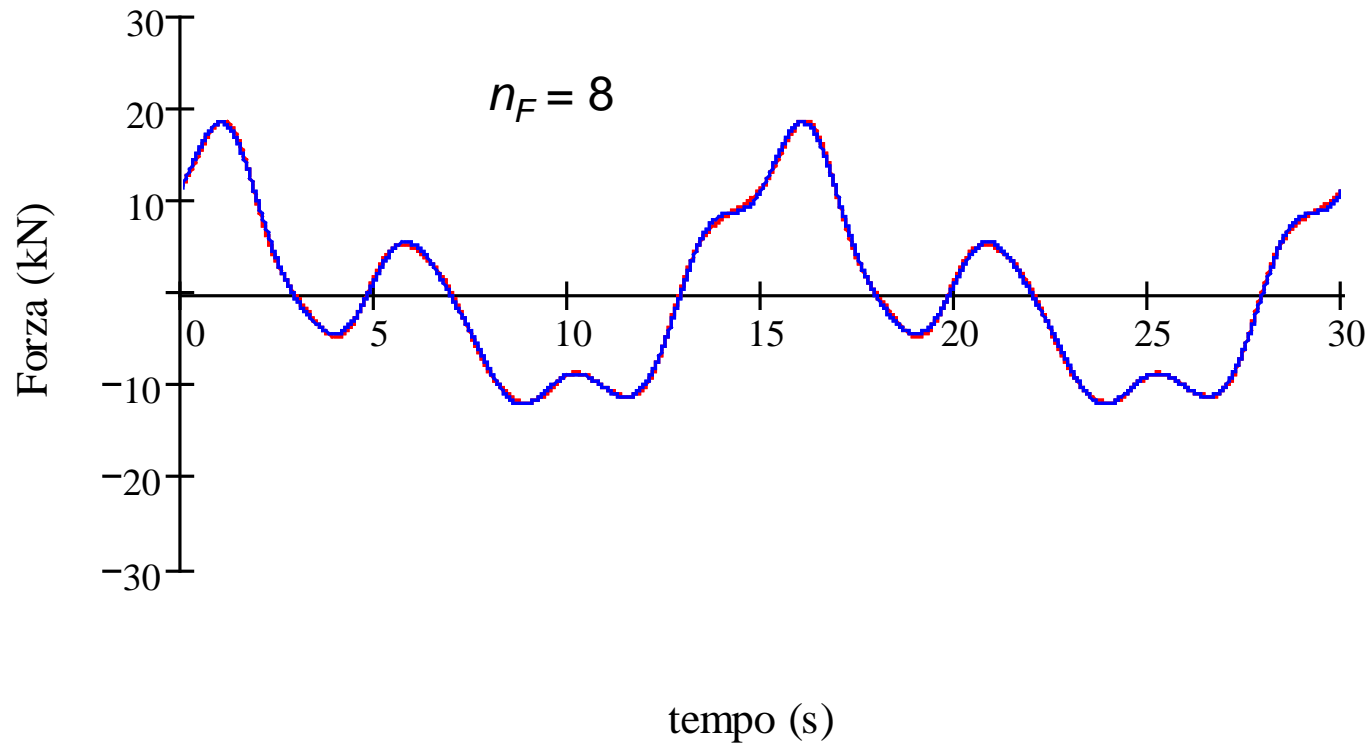
ANALISI DELLA RISPOSTA ARMONICA - APPLICAZIONI



Possibile verifica della corretta scelta di n_F : confronto tra $F(t)$ e

$$F'(t) = A_0 + \sum_{h=1}^{n_F} A_h \cdot \cos(h\Omega_0 t + \lambda_h)$$

ANALISI DELLA RISPOSTA ARMONICA - APPLICAZIONI



Possibile verifica della corretta scelta di n_F : confronto tra $F(t)$ e

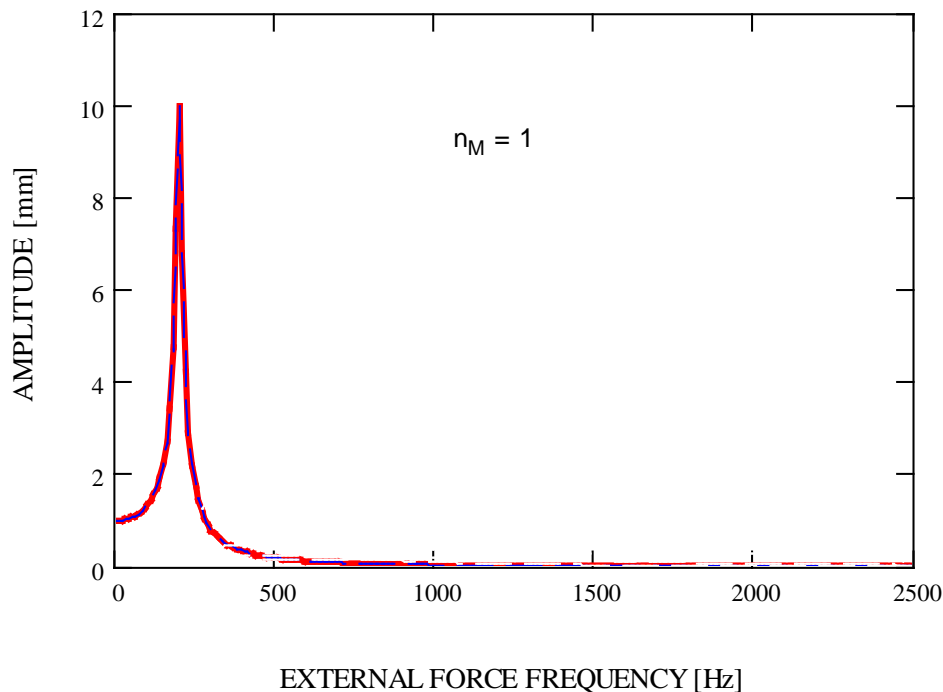
$$F'(t) = A_0 + \sum_{h=1}^{n_F} A_h \cdot \cos(h\Omega_0 t + \lambda_h)$$

ANALISI DELLA RISPOSTA ARMONICA - MSM - APPLICAZIONI

Non è possibile, né conveniente utilizzare tutti i modi propri:

$$\{U(t)\} = \sum_{j=1}^{n_{MP}} \{\Phi\}_j Y_j(t) \cong \sum_{j=1}^{n_M} \{\Phi\}_j Y_j(t) \quad n_M < n_{MP}$$

Effetto della scelta di n_M : il sistema si comporta come un **filtro passa basso**, che “taglia” la risposta alle pulsazioni della forzante maggiori di ω_{n_M}

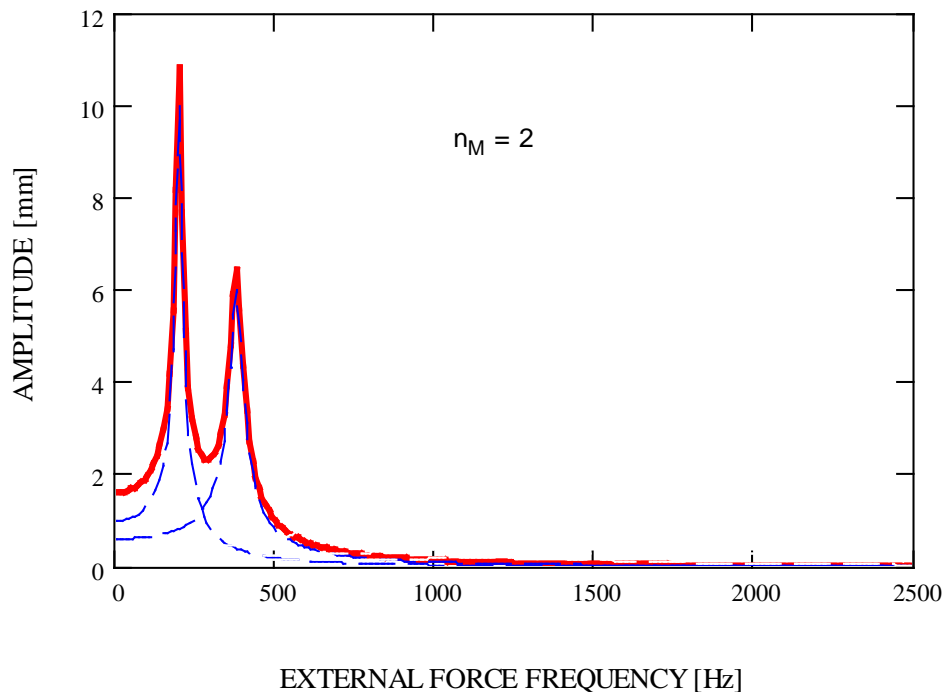


ANALISI DELLA RISPOSTA ARMONICA - MSM - APPLICAZIONI

Non è possibile, né conveniente utilizzare tutti i modi propri:

$$\{U(t)\} = \sum_{j=1}^{n_{MP}} \{\Phi\}_j Y_j(t) \cong \sum_{j=1}^{n_M} \{\Phi\}_j Y_j(t) \quad n_M < n_{MP}$$

Effetto della scelta di n_M : il sistema si comporta come un **filtro passa basso**, che “taglia” la risposta alle pulsazioni della forzante maggiori di ω_{n_M}

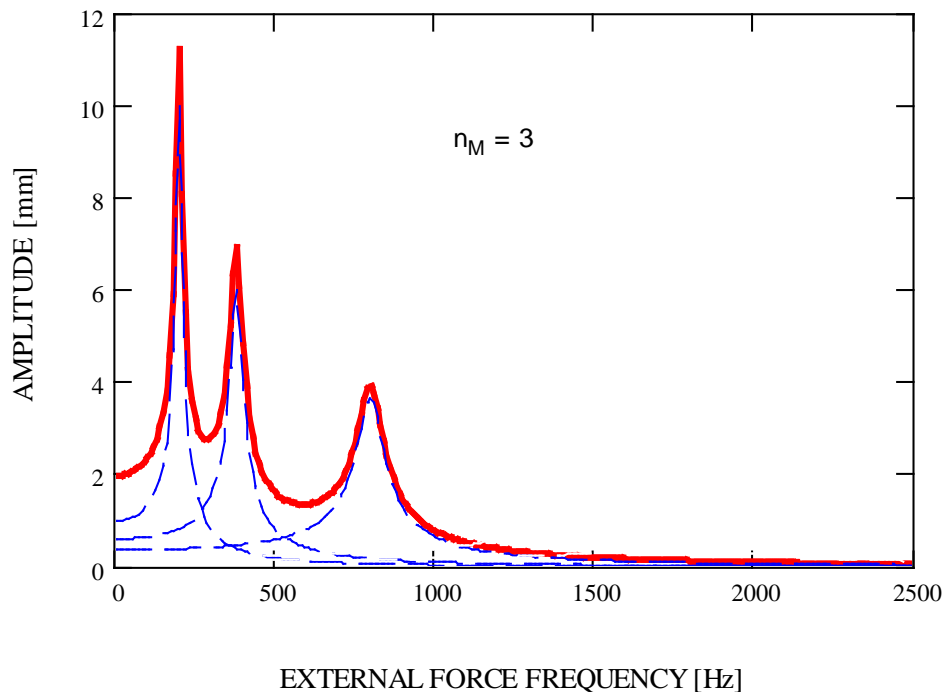


ANALISI DELLA RISPOSTA ARMONICA - MSM - APPLICAZIONI

Non è possibile, né conveniente utilizzare tutti i modi propri:

$$\{U(t)\} = \sum_{j=1}^{n_{MP}} \{\Phi\}_j Y_j(t) \cong \sum_{j=1}^{n_M} \{\Phi\}_j Y_j(t) \quad n_M < n_{MP}$$

Effetto della scelta di n_M : il sistema si comporta come un **filtro passa basso**, che “taglia” la risposta alle pulsazioni della forzante maggiori di ω_{n_M}

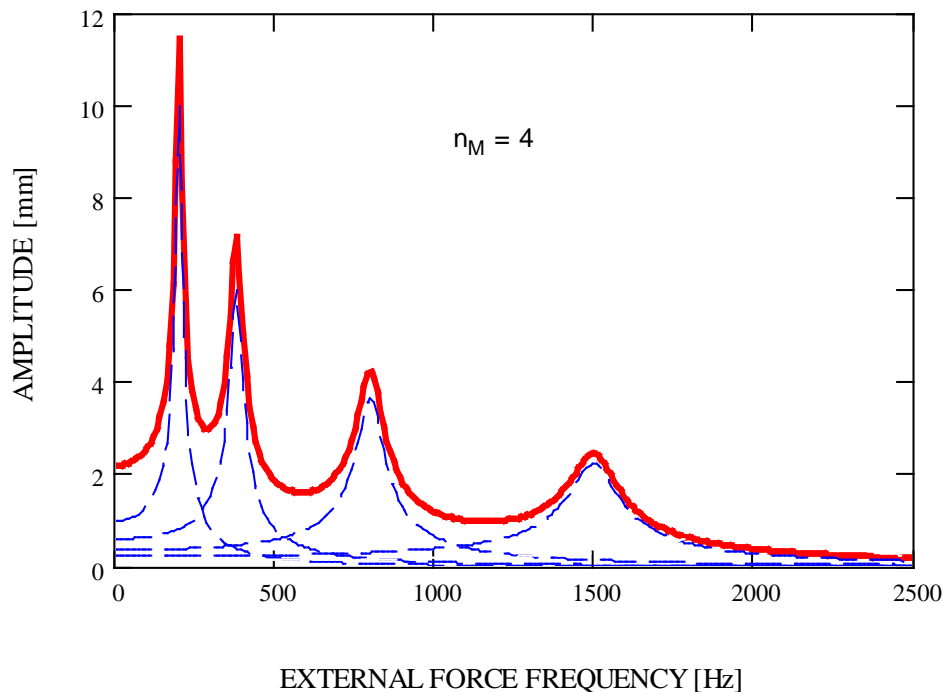


ANALISI DELLA RISPOSTA ARMONICA - MSM - APPLICAZIONI

Non è possibile, né conveniente utilizzare tutti i modi propri:

$$\{U(t)\} = \sum_{j=1}^{n_{MP}} \{\Phi\}_j Y_j(t) \cong \sum_{j=1}^{n_M} \{\Phi\}_j Y_j(t) \quad n_M < n_{MP}$$

Effetto della scelta di n_M : il sistema si comporta come un **filtro passa basso**, che “taglia” la risposta alle pulsazioni della forzante maggiori di ω_{n_M}

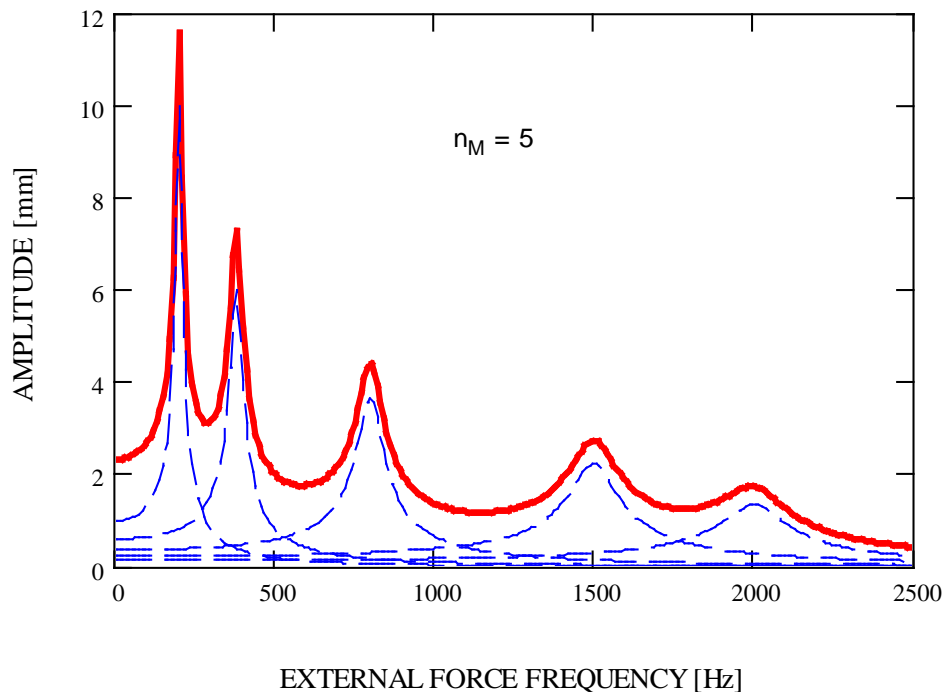


ANALISI DELLA RISPOSTA ARMONICA - MSM - APPLICAZIONI

Non è possibile, né conveniente utilizzare tutti i modi propri:

$$\{U(t)\} = \sum_{j=1}^{n_{MP}} \{\Phi\}_j Y_j(t) \cong \sum_{j=1}^{n_M} \{\Phi\}_j Y_j(t) \quad n_M < n_{MP}$$

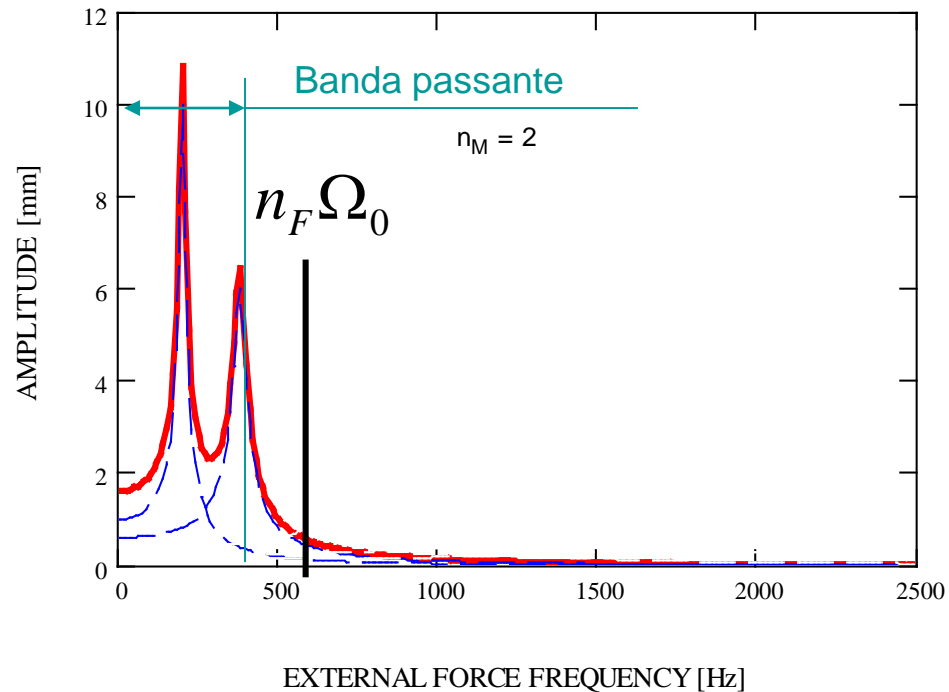
Effetto della scelta di n_M : il sistema si comporta come un **filtro passa basso**, che “taglia” la risposta alle pulsazioni della forzante maggiori di ω_{n_M}



ANALISI DELLA RISPOSTA ARMONICA - MSM - APPLICAZIONI

Condizioni da soddisfare:

- la massima armonica contenuta nella forzante deve risultare compresa nella “banda passante” del modello

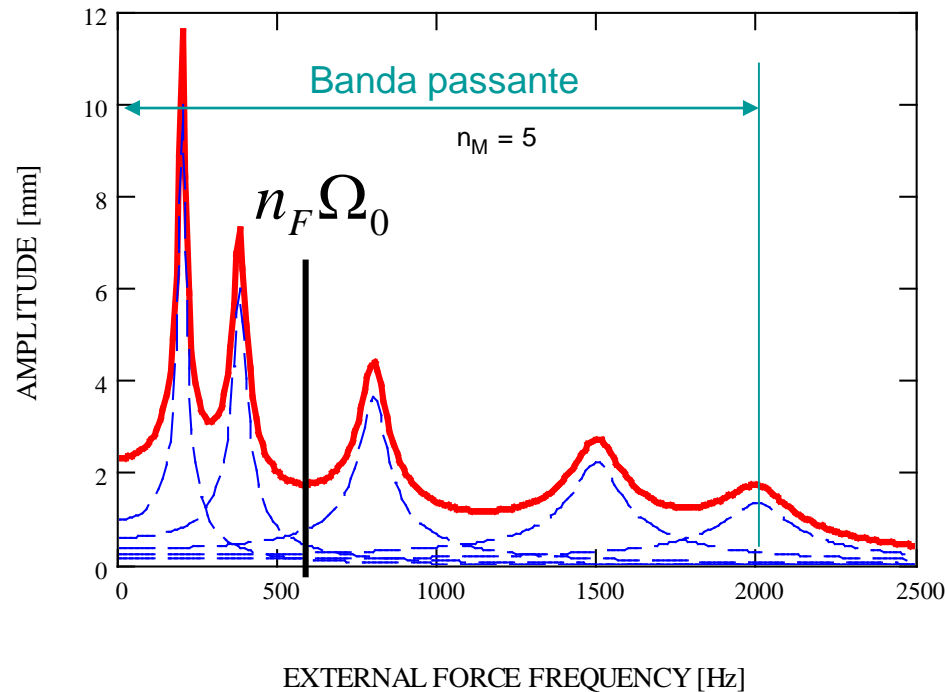


ANALISI DELLA RISPOSTA ARMONICA - MSM - APPLICAZIONI

Condizioni da soddisfare:

- la massima armonica contenuta nella forzante deve risultare compresa nella “banda passante” del modello

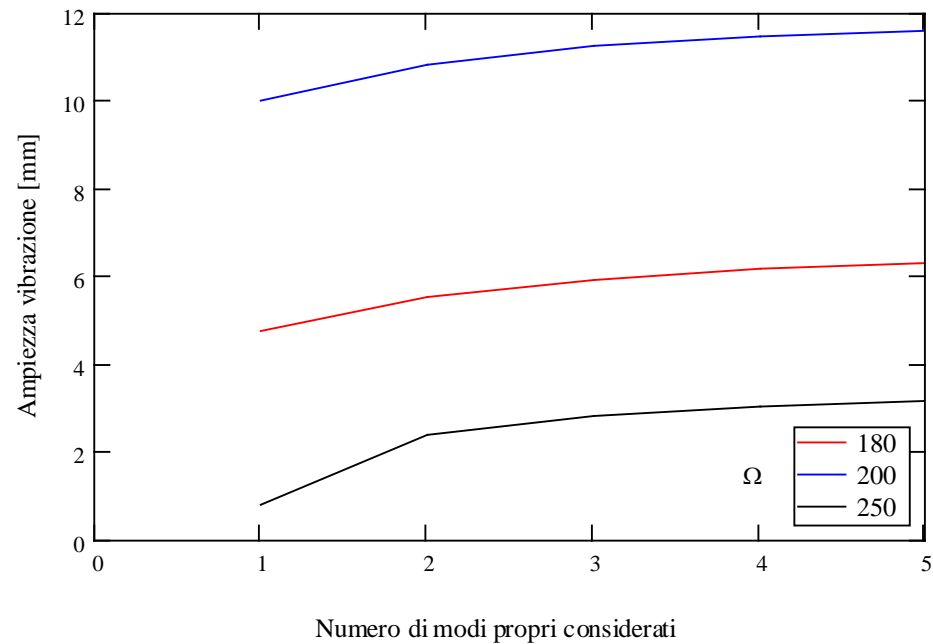
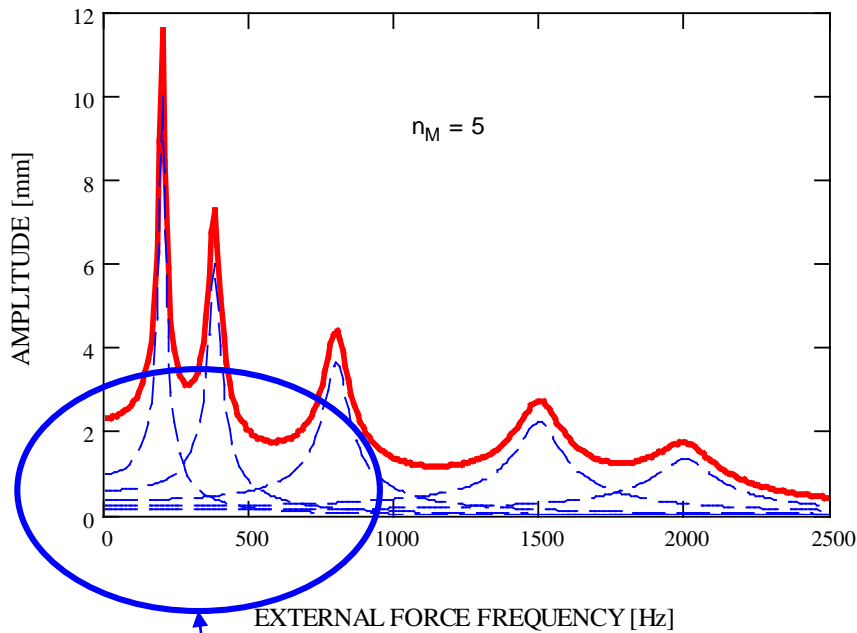
$$\omega_{n_M} > n_F \Omega_0$$



ANALISI DELLA RISPOSTA ARMONICA - MSM - APPLICAZIONI

Condizioni da soddisfare:

- il numero di modi considerati deve essere sufficiente per la convergenza

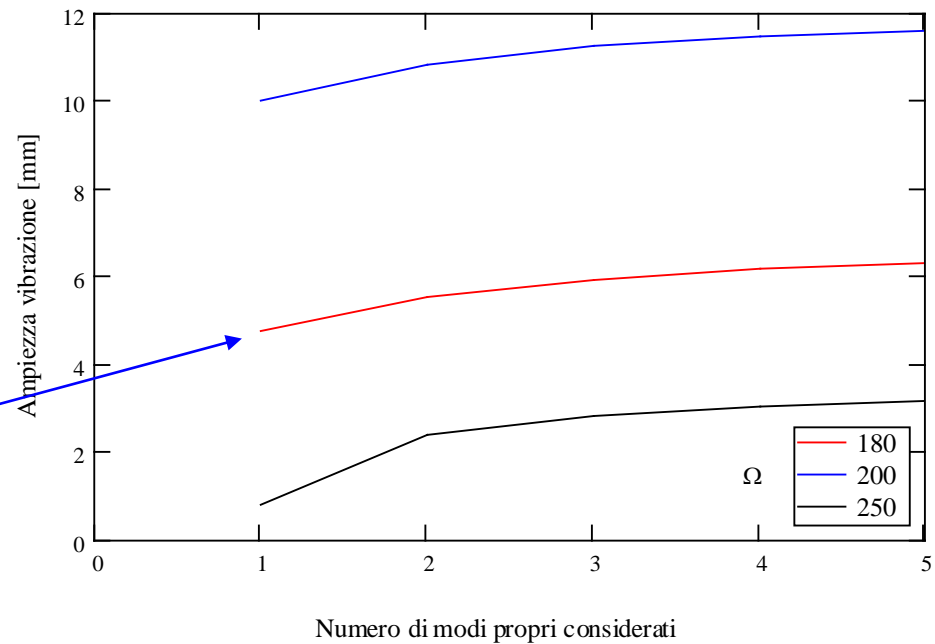
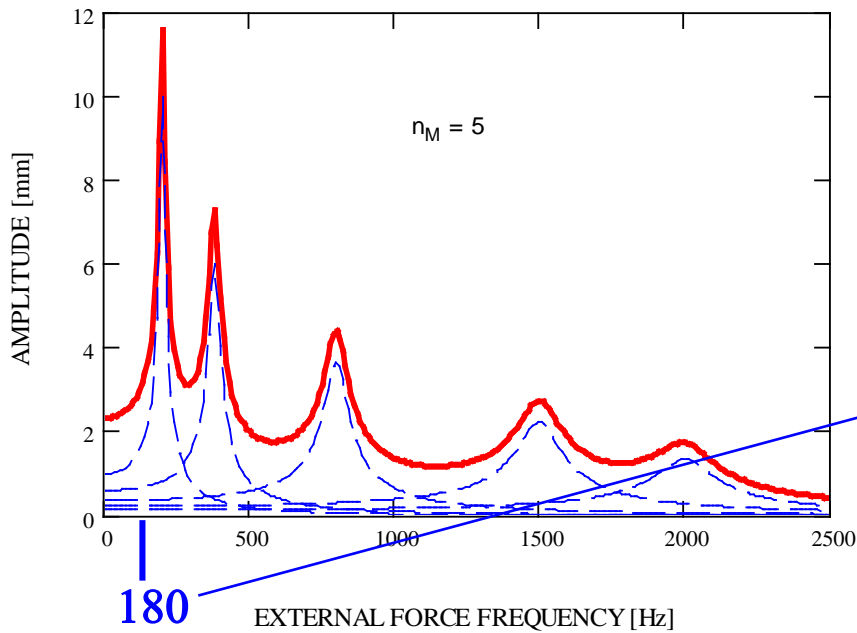


I modi propri di alta frequenza mantengono un contributo anche alle basse frequenze

ANALISI DELLA RISPOSTA ARMONICA - MSM - APPLICAZIONI

Condizioni da soddisfare:

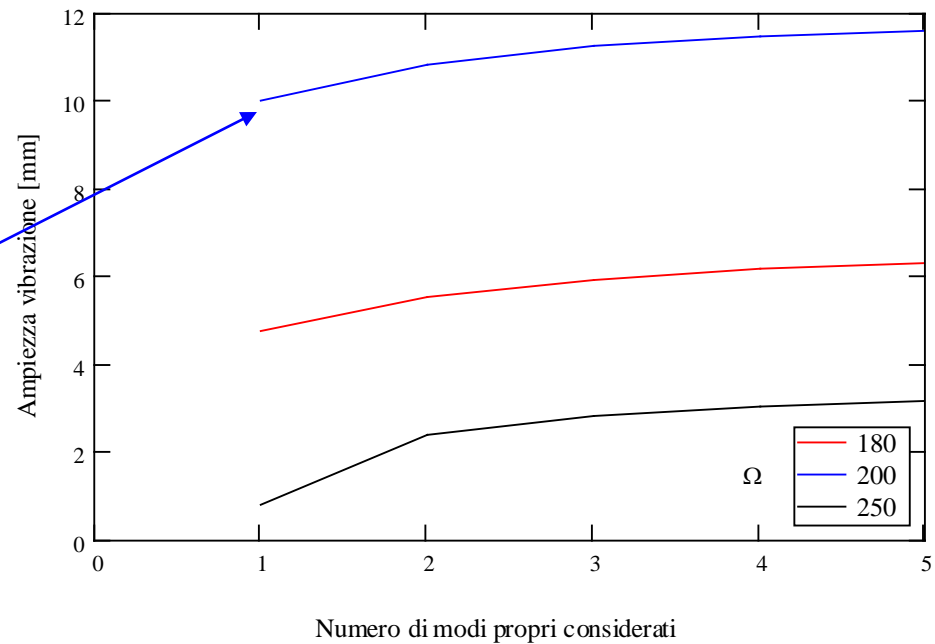
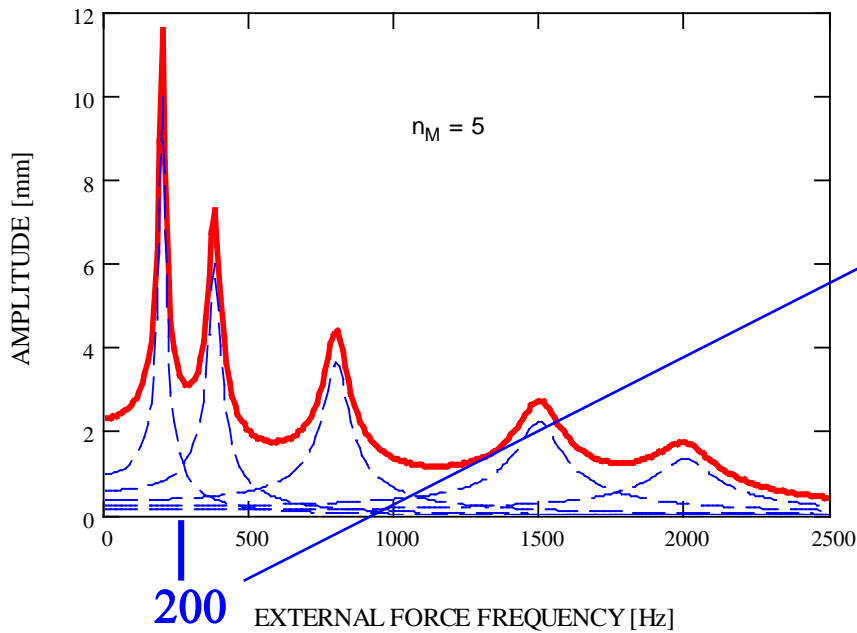
- il numero di modi considerati deve essere sufficiente per la convergenza



ANALISI DELLA RISPOSTA ARMONICA - MSM - APPLICAZIONI

Condizioni da soddisfare:

- il numero di modi considerati deve essere sufficiente per la convergenza



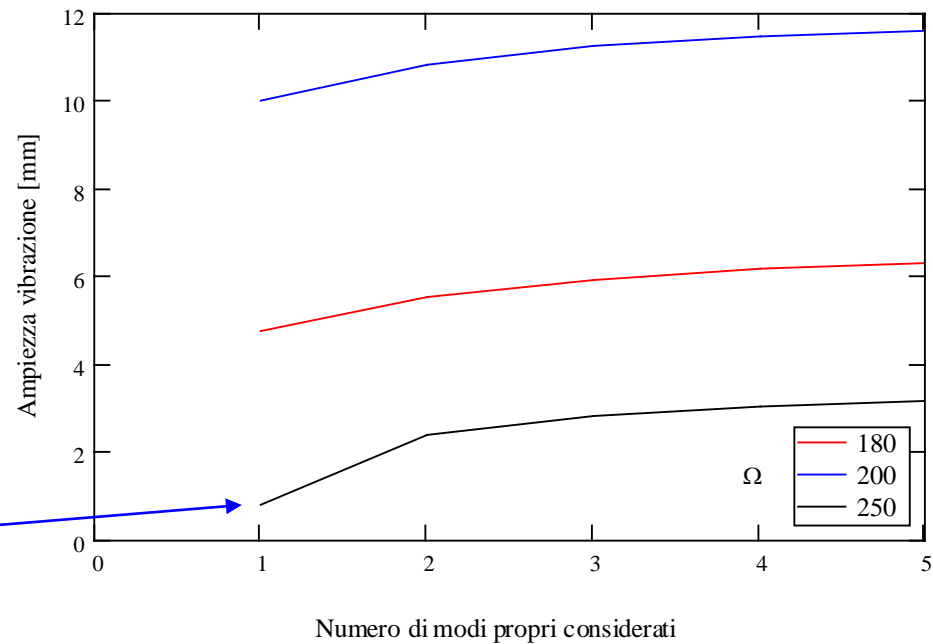
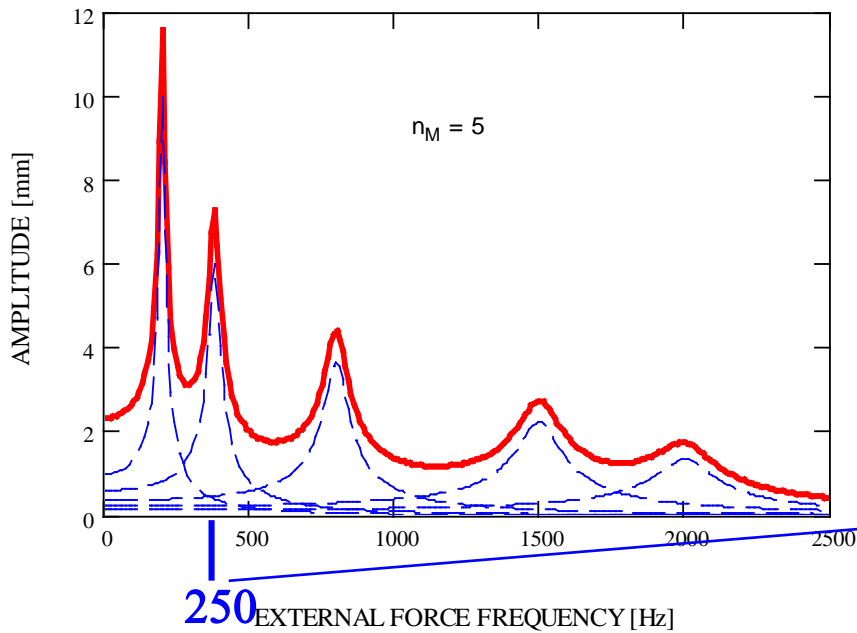
ANALISI DELLA RISPOSTA ARMONICA - MSM - APPLICAZIONI

Condizioni da soddisfare:

- il numero di modi considerati deve essere sufficiente per la convergenza

$$\omega_{n_M} \gg n_F \Omega_0$$

$$\omega_{n_M} > 1.5 \cdot n_F \Omega_0$$

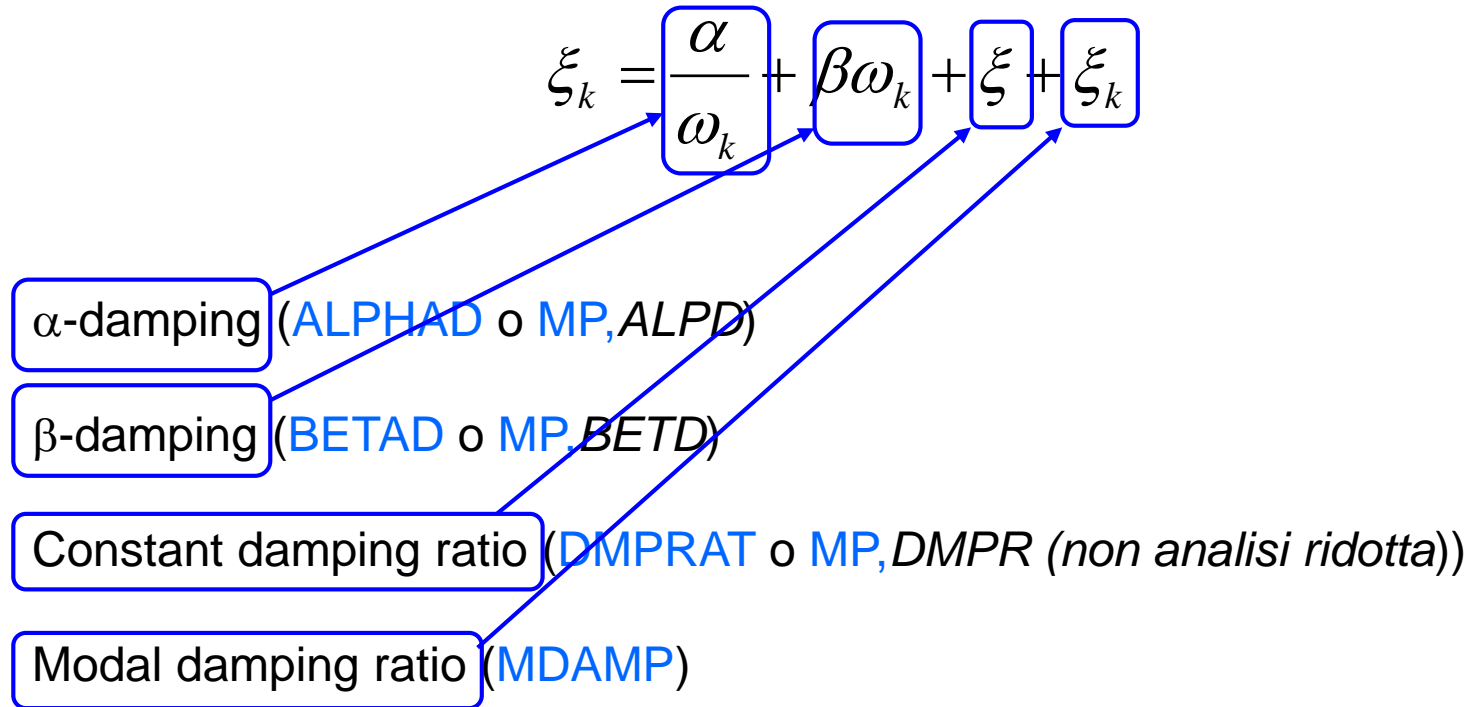


ANALISI DELLA RISPOSTA ARMONICA – MSM + MD - APPLICAZIONI

Ulteriore requisito per MD e per MSM:

- il modello FEM deve essere costruito in maniera da rappresentare in maniera sufficientemente accurata tutti i modi che danno un contributo significativo alla risposta del sistema (tutti gli n_M modi propri nel caso del MSM)

ANALISI DELLA RISPOSTA ARMONICA – MSM – SMORZAMENTO

$$\xi_k = \frac{\alpha}{\omega_k} + \beta\omega_k + \xi + \xi_k$$


α -damping (ALPHAD o MP,ALPD)

β -damping (BETAD o MP,BETD)

Constant damping ratio (DMPRAT o MP,DMPR (*non analisi ridotta*))

Modal damping ratio (MDAMP)

ANALISI DELLA RISPOSTA ARMONICA – FULL – SMORZAMENTO

$$[C] = \alpha[M] + \beta[K] + \frac{\xi}{\Omega}[K] + \sum_k [C_k]$$

α -damping (ALPHAD o MP,ALPD)

β -damping (BETAD o MP,BETD)

Constant damping ratio (DMPRAT o MP,DMPR (*non analisi ridotta*))

Element damping matrix (Es.: LINK11, COMBIN14, MATRIX27,...)

COMANDI ANSYS/1

ANALISI ARMONICA – METODO DIRETTO COMPLETO

/SOLU

ANTYPE, HARMIC

Definisce il tipo di analisi richiesta

HROPT, FULL,

Sceglie il tipo di analisi diretto completo

HARFRQ, *FREQB, FREQE*

Frequenza iniziale e finale per l'analisi

NSUBST, *NSBSTP*

N° di "step" in cui suddividere l'intervallo di frequenze da analizzare

COMANDI ANSYS/1

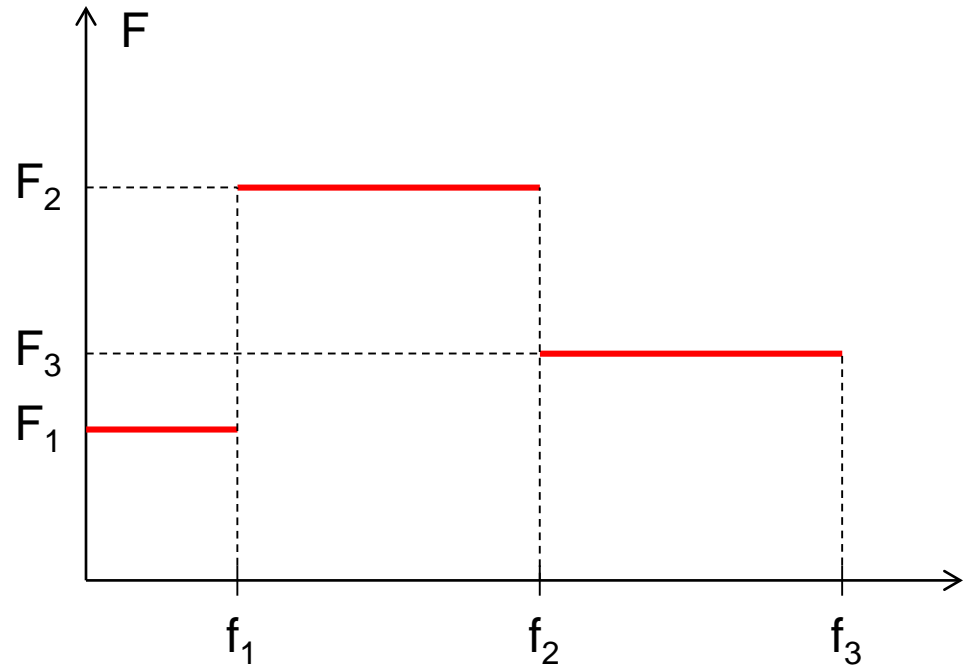
ANALISI ARMONICA – METODO DIRETTO COMPLETO

Possibile anche suddividere il campo di frequenza in intervalli contigui con variazione del carico imposto tra un intervallo e l'altro. Ogni intervallo viene trattato come un "Load Step" separato.

HARFRQ, 0, f_1
NSUBST, *NSBSTP*
F, *N*, F_1
SOLVE

HARFRQ, f_1 , f_2
NSUBST, *NSBSTP*
F, *N*, F_2
SOLVE

HARFRQ, f_2 , f_3
NSUBST, *NSBSTP*
F, *N*, F_3
SOLVE



Nel POST26 i risultati sono comunque disponibili come un intervallo continuo di frequenza

COMANDI ANSYS/2

ANALISI ARMONICA – METODO DIRETTO COMPLETO

HROUT, *Reimky*, *Clust*, *Mcont*

- ON Stampa i risultati come parti reale ed immaginaria
- OFF Stampa i risultati come ampiezza e fase

- OFF “Step” di frequenza equispaziati
- ON “Step” di frequenza addensati attorno ai modi propri

- OFF Non stampa il contributo dei diversi modi
- ON Stampa il contributo dei diversi modi

F, *NODE*, *Lab*, *VALUE*, *VALUE2*, *NEND*, *NINC*

Parti reale ed immaginaria della forza

SOLVE
FINISH

COMANDI ANSYS/3

ANALISI ARMONICA – METODO DIRETTO COMPLETO

/POST26

NSOL

ESOL Definizione grandezze da estrarre dal database

RFORCE

etc.

PRCPLX, KEY

PRVAR

- 0 – Stampa i risultati nella forma parte reale + parte immaginaria
- 1 – Stampa i risultati nella forma ampiezza + fase

PLCPLX, KEY

PLVAR

- 0 — Ampiezza
- 1 — Fase
- 2 — Parte reale
- 3 — Parte immaginaria

POST26/5

Comandi per la elaborazione delle grandezze definite

<u>ABS</u>	<u>IMAGIN</u>	<u>SMALL</u>
<u>ADD</u>	<u>INT1</u>	<u>SQRT</u>
<u>ATAN</u>	<u>LARGE</u>	<u>RPSD</u>
<u>CLOG</u>	<u>NLOG</u>	<u>CVAR</u>
<u>CONJUG</u>	<u>PROD</u>	<u>RESP</u>
<u>DERIV</u>	<u>QUOT</u>	
<u>EXP</u>	<u>REALVAR</u>	

POST26/6

PLVAR, *NVAR1*, *NVAR2*, *NVAR3*, *NVAR4*, *NVAR5*, *NVAR6*, *NVAR7*...

Consente di rappresentare fino a 10 variabili in funzione del tempo o della variabile definita nel comando XVAR

XVAR, *N*

Definisce la variabile da utilizzare per l'asse X; per default si usa la variabile 1 (tempo)

/AXLAB, *Axis*, *Lab*

Consente di specificare la "label" dei due assi

/XRANGE, *XMIN*, *XMAX*

/YRANGE, *XMIN*, *XMAX*

Definiscono i valori massimi e minimi per i due assi

/GROPT, *Lab*, *KEY*

Consente varie opzioni grafiche (es. Numero di divisioni, assi logaritmici, etc)

COMANDI ANSYS/4

ANALISI ARMONICA – METODO DIRETTO RIDOTTO

/SOLU

ANTYPE, HARMIC Definisce il tipo di analisi richiesta

HROPT, REDUC, Sceglie il tipo di analisi diretto ridotto

HARFRQ, FREQB, FREQE

NSUBST, NSBSTP

HROUT, Reimky, Clust, Mcont

F, NODE, Lab, VALUE, VALUE2, NEND, NINC

SOLVE

FINISH

COMANDI ANSYS/5

ANALISI ARMONICA – METODO DIRETTO RIDOTTO

/SOLU

EXPASS, *ON* Passo di espansione

NUMEXP, *NUM*, *BEGRNG*, *ENDRNG*, ...

Numero di soluzioni da espandere (se ALL espande tutti gli “step” disponibili)

“Range” di frequenza sul quale effettuare l’espansione delle soluzioni

EXPSOL, *LSTEP*, *SBSTEP*, *TIMFRQ*, *Elcalc*

SOLVE

FINISH

COMANDI ANSYS/6

ANALISI ARMONICA – METODO SOVRAPPOSIZIONE MODALE

/SOLU

ANTYPE, MODAL Analisi modale preliminare

MODOPT, Method, NMODE, FREQB, FREQE, ,Nrmkey

SOLVE

FINISH

/SOLU

Analisi armonica con MSM

HROPT, MSUP, MAXMODE, MINMODE

N° d'ordine finale (default e max.: NMODE) ed iniziale (default: 1) dei modi da impiegare

HROUT, Reimky, Clust, Mcont

F, NODE, Lab, VALUE, VALUE2, NEND, NINC

SOLVE

FINISH

COMANDI ANSYS/7

ANALISI ARMONICA – METODO SOVRAPPOSIZIONE MODALE RIDOTTO

/SOLU

ANTYPE, MODAL Analisi modale preliminare ridotta

MODOPT, REDUC, NMODE, FREQB, FREQE, ,Nrmkey

SOLVE

FINISH

/SOLU

Analisi armonica con MSM

HROPT, MSUP, MAXMODE, MINMODE

HROUT, Reimky, Clust, Mcont

F, NODE, Lab, VALUE, VALUE2, NEND, NINC

SOLVE

FINISH

/SOLU Passo di espansione

EXPASS, ON

NUMEXP, NUM, BEGRNG, ENDRNG

SOLVE

FINISH